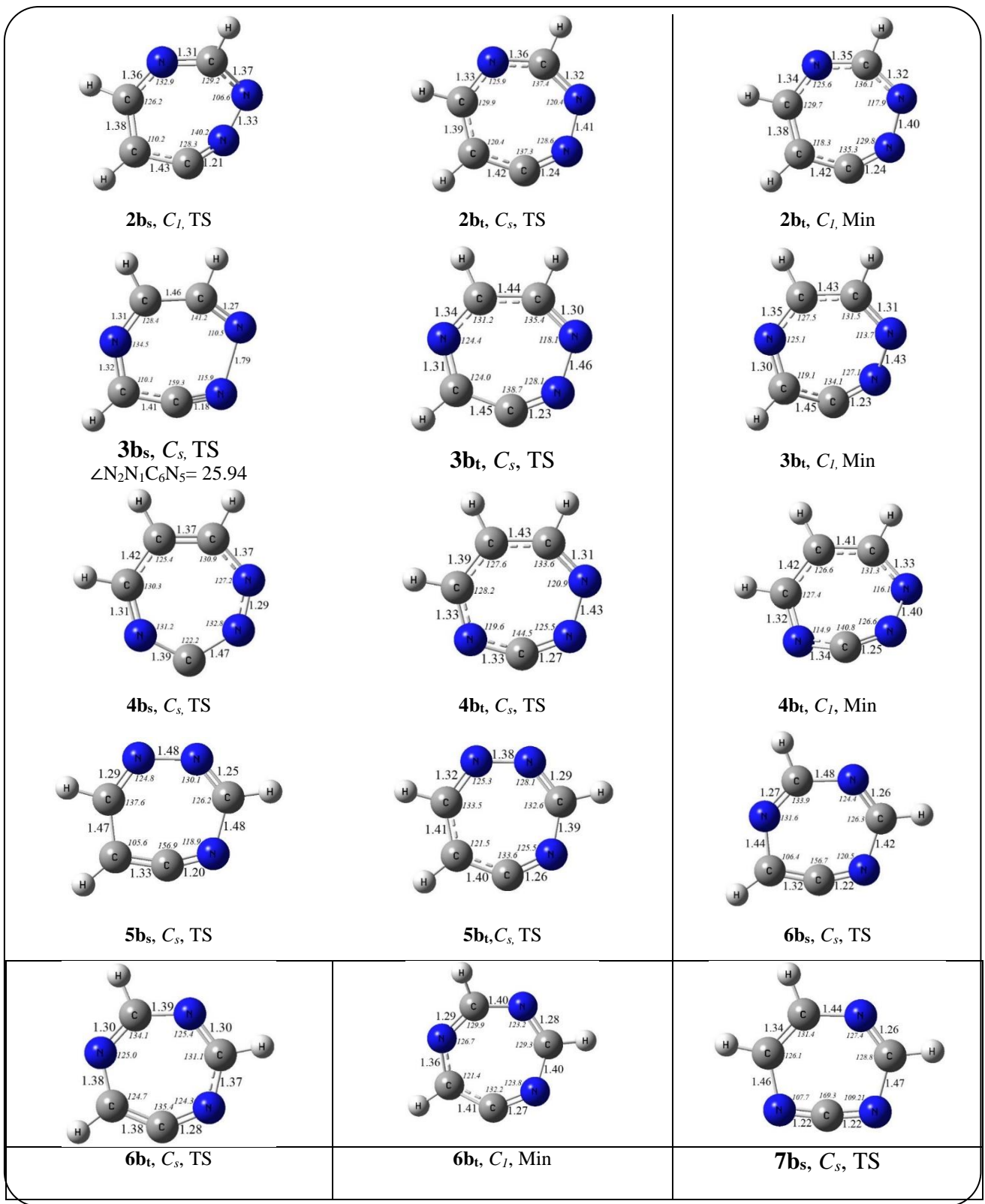
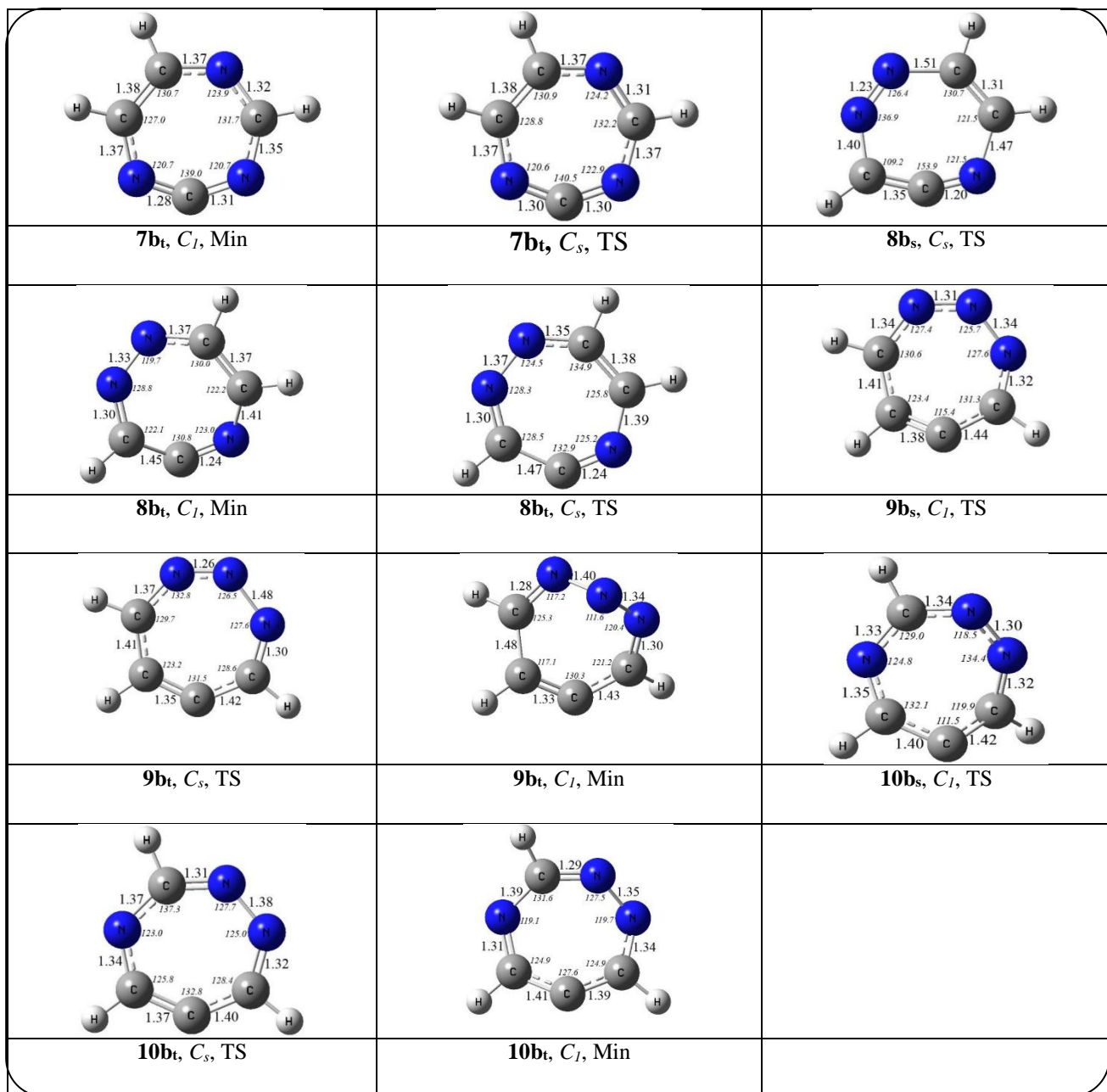


شکل ۱ - پارامترهای هندسی بهینه‌سازی شده در روش $*G^{**}B3LYP/6-311++G^{**}$ شامل طول پیوند بر حسب آنگستروم (\AA) و زاویه‌ی بیوند بر حسب درجه ($^\circ$) برای گونه‌های تری‌آزاسیکلوهپتا-۱،۲،۴،۶-تراان (۱a-10a).



شکل ۲- پارامترهای هندسی بهینه‌سازی شده در روش B3LYP/6-311++G** شامل طول پیوند بر حسب آنگستروم (Å) و زاویه‌ی پیوند بر حسب درجه (°) برای حالت‌های الکترونی یک تایی (1b_s-9b_s) و سه تایی (1b_t-9b_t) از گونه‌های توی آزاسیکلوهپتا-۱,۳,۱-تربیان-۷-ایلیدن.



شکل ۲- پارامترهای هندسی بهینه‌سازی شده در روش B3LYP/6-311++G** شامل طول پیوند بر حسب آنگستروم (Å) و زاویه‌ی پیوند بر حسب درجه (°) برای حالت‌های الکترونی یکتایی (1bs-9bs) و سه‌تایی (1bt-9bt) از گونه‌های تری‌آزاسیکلولوپتا-۱,۳,۵-تري‌ان-۷-اکلیدن. (ادامه)

جدول ۱ - مرتبه‌ی پیوندهای مهم به دست آمده از روش B3LYP/6-311++G** برای گونه‌های تری‌آزاسیکلوهپتا-۱،۲،۴،۶-تتران (1a-10a) و حالت‌های الکترونی یک‌تایی (s) و سه‌تایی (t) از گونه‌های تری‌آزاسیکلوهپتا-۳،۵-تتران-۷-ایلیدن (2b-10b).^۱

گونه‌ها	مرتبه‌ی پیوند		گونه‌ها	مرتبه‌ی پیوند	
	N ₁ -C ₇	C ₆ -C ₇		N ₁ -C ₇	N ₆ -C ₇
1a	۱/۳۸	۰/۹۶	7a	۱/۴۳	۱/۴۱
2a	۱/۴۴	۰/۹۵	7b_s	۱/۴۳	۱/۴۵
2b_s	۱/۵۲	۱/۰۵	7b_t(C_s)	۱/۲۲	۱/۲۴
2b_t(C_s)	۱/۴۱	۱/۰۸	7b_t(C₁)	۱/۱۹	۱/۲۹
2b_t(C₁)	۱/۴۳	۱/۰۷		N ₁ -C ₇	C ₆ -C ₇
3a	۱/۴۵	۰/۸۴	8a	۱/۴۰	۰/۸۷
3b_s	۱/۷۳	۱/۰۶	8b_s	۱/۵۳	۱/۲۲
3b_t(C_s)	۱/۴۸	۱/۰۳	8b_t(C_s)	۱/۴۱	۰/۹۸
3b_t(C₁)	۱/۴۹	۱/۰۲	8b_t(C₁)	۱/۴۳	۱/۰۱
	N ₁ -C ₇	N ₆ -C ₇		C ₁ -C ₇	C ₆ -C ₇
4a	۱/۲۲	۱/۰۲	9a	۱/۴۴	۱/۳۶
4b_s	۰/۹۴	۱/۰۷	9b_s	۱/۰۹	۱/۲۴
4b_t(C_s)	۱/۳۷	۱/۱۲	9b_t(C_s)	۱/۰۷	۱/۲۶
4b_t(C₁)	۱/۴۲	۱/۱۰	9b_t(C₁)	۱/۰۸	۱/۴۱
	N ₁ -C ₇	C ₆ -C ₇	10a	۱/۴۷	۱/۳۱
5a	۱/۴۳	۱/۳۷	10b_s	۱/۱۰	۱/۲۲
5b_s	۱/۵۲	۱/۲۹	10b_t(C_s)	۱/۱۳	۱/۲۲
5b_t(C_s)	۱/۳۳	۱/۱۳	10b_t(C₁)	۱/۲۰	۱/۱۴
6a	۱/۴۱	۱/۳۵			
6b_s	۱/۴۲	۱/۳۴			
6b_t(C_s)	۱/۳۵	۱/۲۲			
6b_t(C₁)	۱/۳۳	۱/۱۳			

جدول ۲- هیبریداسیون NBO به دست آمده از روش B3LYP/6-311++G** برای گونه‌های تری‌آزاسیکلوفیت-۱، ۴، ۲، ۶-ترالان (1a-10a) و حالت‌های الکترونی یک‌تایی (s) سه‌تایی (t) از گونه‌های تری‌آزاسیکلوفیت-۱، ۳، ۵-تری‌ان-۷-ایلیدن (2b-10b).

گونه‌ها	هیبریداسیون پیوندهای π								جفت الکترون غیر پیوندی	
	$\pi_{(1)N1-N2}$		$\pi_{(1)N3-C4}$		$\pi_{(1)C5-C6}$		$\pi_{(1)C7-N1}$			
1a	N ₁	N ₂	N ₃	C ₄	C ₅	C ₆	C ₇	N ₁	Lp _{1C7}	Lp _{1N₂}
	s ¹ p ^{36.20}	s ¹ p ^{99.99}	s ¹ p ^{85.48}	s ¹ p ^{99.99}	s ¹ p ^{99.99}	s ¹ p ^{77.23}	s ¹ p ^{99.99}	s ¹ p ^{29.67}	s ¹ p ^{1.41}	s ⁰ p ¹⁰⁰
2a	$\pi_{(1)N1-N2}$		$\pi_{(1)C3-N4}$		$\pi_{(1)C5-C6}$		$\pi_{(1)C7-N1}$		Lp	
	N ₁	N ₂	C ₃	N ₄	C ₅	C ₆	C ₇	N ₁	Lp _{1C7}	
s ¹ p ^{72.38}		s ¹ p ^{99.99}	s ¹ p ^{99.99}	s ¹ p ^{99.99}	s ¹ p ^{69.23}	s ¹ p ^{48.62}	s ¹ p ^{99.99}	s ¹ p ^{28.29}	s ¹ p ^{1.47}	
2b _s	$\pi_{(1)C3-N4}$		$\pi_{(1)C5-C6}$		$\pi_{(1)C7-N1}$		$\pi_{(2)C7-N1}$		Lp	
	C ₃	N ₄	C ₅	C ₆	C ₇	N ₁	C ₇	N ₁	Lp _{2N₂}	
s ¹ p ^{99.99}		s ¹ p ^{99.99}	s ¹ p ^{99.99}	s ¹ p ^{80.27}	s ¹ p ^{31.03}	s ¹ p ^{22.63}	s ¹ p ^{29.36}	s ¹ p ^{65.90}	s ¹ p ^{99.99}	
2b _{t(C_s)}	$\pi_{(1)N2-C3}$		$\pi_{(1)C5-C6}$		$\pi_{(1)C6-C7}$		Lp			
	N ₂	C ₃	C ₅	C ₆	C ₆	C ₇	Lp ^{*b} _{2N₄}		Lp ^{*b} _{1C7}	
s ⁰ p ¹⁰⁰		s ⁰ p ¹⁰⁰		s ¹ p ^{14.22}						
2b _{t(C₁)}	-N ₂ , $\pi_{(1)N}$		$\pi_{(1)C3-N4}$		$\pi_{(1)C5-C6}$		Lp			
	N ₁	N ₂	C ₅	N ₄	C ₅	C ₆	Lp ^{*b} _{1C7}		Lp ^{*b} _{2C7}	
s ¹ p ^{99.99}		s ¹ p ^{99.99}	s ¹ p ^{99.99}	s ⁰ p ¹⁰⁰	s ¹ p ^{99.99}	s ¹ p ^{99.99}	s ¹ p ^{99.99}		s ¹ p ^{14.73}	
گونه‌ها	هیبریداسیون پیوندهای π								جفت الکترون غیر پیوندی	
3a	$\pi_{(1)N2-C3}$		$\pi_{(1)C3-C4}$		$\pi_{(1)N5-C6}$		$\pi_{(1)C7-N1}$		Lp _{1C7}	
	N ₂	C ₃	C ₃	C ₄	N ₅	C ₆	C ₇	N ₁	LP _{1C7}	
s ¹ p ^{99.12}		s ¹ p ^{99.99}	s ¹ p ^{99.99}	s ¹ p ^{99.99}	s ¹ p ^{68.72}	s ¹ p ^{48.45}	s ¹ p ^{99.99}	s ¹ p ^{18.69}	s ¹ p ^{1.09}	
3b _s	$\pi_{(1)N2-C3}$		$\pi_{(1)N5-C6}$		$\pi_{(1)C7-N1}$		$\pi_{(2)C7-N1}$		Lp _{1C4}	
	N ₂	C ₃	N ₅	C ₆	C ₇	N ₁	C ₇	N ₁	s ⁰ p ¹⁰⁰	
s ⁰ p ¹⁰⁰		s ⁰ p ¹⁰⁰	s ⁰ p ¹⁰⁰	s ⁰ p ¹⁰⁰	s ¹ p ^{19.47}	s ¹ p ^{19.97}	s ⁰ p ¹⁰⁰	s ⁰ p ¹⁰⁰	s ⁰ p ¹⁰⁰	
3b _{t(C_s)}	$\pi_{(1)N2-C3}$		$\pi_{(1)C5-N6}$		$\pi_{(1)C7-N1}$		$\pi_{(2)C7-N1}$		Lp ^{*b} _{1C4}	
	N ₂	C ₃	C ₅	N ₆	C ₇	N ₁	C ₇	N ₁	s ⁰ p ¹⁰⁰	
s ⁰ p ¹⁰⁰		s ⁰ p ¹⁰⁰	s ⁰ p ¹⁰⁰	s ⁰ p ¹⁰⁰	s ¹ p ^{28.04}	s ¹ p ^{10.34}	s ⁰ p ¹⁰⁰	s ⁰ p ¹⁰⁰	s ⁰ p ¹⁰⁰	
3b _{t(C₁)}	$\pi_{(1)N2-C3}$		$\pi_{(1)N5-C6}$		$\pi_{(1)C7-N1}$		$\pi_{(1)C7-N1}$		Lp ^{*b} _{1C4}	
	N ₂	C ₃	N ₅	C ₆	C ₇	N ₁	C ₇	N ₁	s ¹ p ^{99.99}	
s ¹ p ^{99.99}		s ⁰ p ¹⁰⁰	s ¹ p ^{99.99}	s ¹ p ^{99.99}	s ¹ p ^{44.43}	s ¹ p ^{25.66}	s ¹ p ^{99.99}	s ¹ p ^{53.32}	s ¹ p ^{99.99}	
گونه‌ها	هیبریداسیون پیوندهای π								جفت الکترون غیر پیوندی	
4a	$\pi_{(1)N1-N2}$		$\pi_{(1)C3-C4}$		$\pi_{(1)C5-N6}$		Lp _{1C7}		Lp [*] _{2C7}	
	N ₁	N ₂	C ₃	C ₄	C ₅	N ₆	Lp _{1C7}		Lp [*] _{2C7}	
s ¹ p ^{40.81}		s ¹ p ^{83.94}	s ¹ p ^{99.99}	s ¹ p ^{99.99}	s ¹ p ^{27.96}	s ¹ p ^{19.72}	s ¹ p ^{1.27}		s ¹ p ^{99.99}	

جدول ۲- هیبریداسیون NBO به دست آمده از روش B3LYP/6-311++G** برای گونه‌های تری‌آزاسیکلوفیت-۱، ۴، ۲، ۶-ترالان (1a-10a) و حالت‌های الکترونی یکتاپی (s) از گونه‌های تری‌آزاسیکلوفیت-۱، ۳، ۵-تری‌ان-۷-ایلیدن (2b-10b) (ادامه).

4b _s	$\pi_{(1)N1-N2}$		$\pi_{(1)C3-C4}$		$\pi_{(1)C5-N6}$		Lp _{1C7}	Lp [*] _{2C7}
	N ₁	N ₂	C ₃	C ₄	C ₅	N ₆		
	s ⁰ p ¹⁰⁰	s ⁰ p ¹⁰⁰						
4b _t (C _s)	$\pi_{(1)C3-C4}$		$\pi_{(1)C5-N6}$		$\pi_{(1)C7-N1}$		Lp [*] _{2N2}	Lp [*] _{1C7}
	C ₃	C ₄	C ₅	N ₆	C ₇	N ₁		
	s ⁰ p ¹⁰⁰	s ⁰ p ¹⁰⁰						
4b _t (C ₁)	$\pi_{(1)C3-C4}$		$\pi_{(1)C5-N6}$		$\pi_{(1)C7-N1}$		Lp [*] _{2N2}	Lp [*] _{1C7}
	C ₃	C ₄	C ₅	N ₆	C ₇	N ₁		
	s ¹ p ^{99.99} d ^{13.15}	s ¹ p ^{99.99}	s ¹ p ^{99.99} d ^{12.97}	s ¹ p ^{17.56}				

هیبریداسیون پیوندهای

5a	$\pi_{(1)C2-N3}$		$\pi_{(1)N4-C5}$		$\pi_{(1)C6-C7}$		$\pi_{(1)C7-N1}$	
	C ₂	N ₃	N ₄	C ₅	C ₆	C ₇	C ₇	N ₁
	s ¹ p ^{38.61}	s ¹ p ^{45.27}	s ¹ p ^{99.99}	s ¹ p ^{99.99}	s ¹ p ^{99.99}	s ¹ p ^{58.39}	s ¹ p ^{39.46}	s ¹ p ^{99.99}
5b _s	$\pi_{(1)C2-N3}$		$\pi_{(1)N4-C5}$		$\pi_{(1)C6-C7}$		$\pi_{(1)C7-N1}$	
	C ₂	N ₃	N ₄	C ₅	C ₆	C ₇	C ₇	N ₁
	s ⁰ p ¹⁰⁰	s ¹ p ^{99.99}	s ¹ p ^{19.26}					
5b _t (C _s)	$\pi_{(1)N1-C2}$		$\pi_{(1)N3-N4}$		$\pi_{(1)C5-C6}$		Lp	
	N ₁	C ₂	N ₃	N ₄	C ₅	C ₆	Lp [*] _{1C7}	Lp [*] _{2C7}
	s ⁰ p ¹⁰⁰	s ¹ p ^{20.44}						
گونه‌ها	هیبریداسیون پیوندهای π							
6a	$\pi_{(1)C2-N3}$		$\pi_{(1)C4-N5}$		$\pi_{(1)C6-C7}$		$\pi_{(1)C7-N1}$	
	C ₂	N ₃	C ₄	N ₅	C ₆	C ₇	C ₇	N ₁
	s ¹ p ^{99.99}	s ¹ p ^{55.45}	s ¹ p ^{28.60}	s ¹ p ^{99.99}				
6b _s	$\pi_{(1)C2-N3}$		$\pi_{(1)C4-N5}$		$\pi_{(1)C6-C7}$		$\pi_{(1)C7-N1}$	
	C ₂	N ₃	C ₄	N ₅	C ₆	C ₇	C ₇	N ₁
	s ⁰ p ¹⁰⁰	s ¹ p ^{99.99}	s ¹ p ^{21.29}					
6b _t (C _s)	$\pi_{(1)C2-N3}$		$\pi_{(1)C4-N5}$		$\pi_{(1)C7-N1}$		Lp	
	C ₂	N ₃	C ₄	N ₅	C ₇	N ₁	Lp [*] _{1C6}	Lp [*] _{1C7}
	s ⁰ p ¹⁰⁰	s ¹ p ^{18.60}						
6b _t (C ₁)	$\pi_{(1)C2-N3}$		$\pi_{(1)N5-C6}$		$\pi_{(1)C7-N1}$		$\pi_{(2)C7-N1}$	
	C ₂	N ₃	N ₅	C ₆	C ₇	N ₁	C ₇	N ₁
	s ¹ p ^{99.99}	s ¹ p ^{99.99}	s ¹ p ^{99.99}	s ⁰ p ¹⁰⁰	s ¹ p ^{44.97}	s ¹ p ^{24.26}	s ¹ p ^{99.99}	s ¹ p ^{99.99}

جدول ۲- هیبریداسیون NBO به دست آمده از روش B3LYP/6-311++G** برای گونه‌های تری‌آزاسیکلوفپتا-۱،۴،۲،۶-ترالان (1a-10a) و حالت‌های الکترونی یکتایی (s) سه‌تایی (t) از گونه‌های تری‌آزاسیکلوفپتا-۱،۳،۵-تری‌ان-۷-ایلیدن (2b-10b) (ادامه).

	هیبریداسیون پیوندهای π								
7a	$\pi_{(1)C2-N3}$		$\pi_{(1)C4-C5}$		$\pi_{(1)N6-C7}$		$\pi_{(1)C7-N1}$		
	C ₂	N ₃	C ₄	C ₅	N ₆	C ₇	C ₇	N ₁	
	s ¹ p ^{99.99}	s ¹ p ^{99.04}	s ¹ p ^{65.33}	s ¹ p ^{99.99}					
7b _s	$\pi_{(1)C2-N3}$		$\pi_{(1)C4-C5}$		$\pi_{(1)N6-C7}$		$\pi_{(1)C7-N1}$		Lp
	C ₂	N ₃	C ₄	C ₅	N ₆	C ₇	N ₆	C ₇	Lp _{1N1}
	s ⁰ p ¹⁰⁰	s ¹ p ^{14.47}	s ¹ p ^{24.37}	s ⁰ p ¹⁰⁰	s ⁰ p ¹⁰⁰	s ⁰ p ¹⁰⁰			
7b _{t(C_s)}	$\pi_{(1)C2-N3}$		$\pi_{(1)C5-N6}$		$\pi_{(1)C7-C1}$		Lp		
	C ₂	N ₃	C ₅	N ₆	C ₇	C ₁	Lp ^b _{1C4}		Lp ^b _{1C7}
	s ⁰ p ¹⁰⁰	s ⁰ p ¹⁰⁰	s ⁰ p ¹⁰⁰		s ¹ p ^{19.09}				
7b _{t(C_l)}	$\pi_{(1)N1-C2}$		$\pi_{(1)N3-C4}$		$\pi_{(1)N6-C7}$		Lp		
	N ₁	C ₂	N ₃	C ₄	N ₆	C ₇	Lp ^b _{1C5}		Lp ^b _{1C7}
	s ¹ p ^{99.99}	s ⁰ p ¹⁰⁰	s ⁰ p ¹⁰⁰	s ¹ p ^{99.99}	s ⁰ p ¹⁰⁰	s ¹ p ^{99.99}	s ¹ p ^{99.99}		s ¹ p ^{22.99}
گونه‌ها	هیبریداسیون پیوندهای π								جفت الکترون غیر پیوندی
8a	$\pi_{(1)N1-C2}$		$\pi_{(1)C3-N4}$		$\pi_{(1)N5-C6}$		$\pi_{(1)C7-N1}$		
	N ₁	C ₂	C ₃	N ₄	N ₅	C ₆	C ₇	N ₁	Lp _{1C7}
	s ¹ p ^{77.76}	s ⁰ p ¹⁰⁰	s ¹ p ^{95.65}	s ¹ p ^{99.99}	s ¹ p ^{10.79}	s ¹ p ^{10.19}	s ¹ p ^{99.99}	s ¹ p ^{42.40}	s ¹ p ^{1.20}
8b _s	$\pi_{(1)C2-C3}$		$\pi_{(1)N4-N5}$		$\pi_{(1)C7-N1}$		$\pi_{(2)C7-N1}$		Lp
	C ₂	C ₃	N ₄	N ₅	C ₇	N ₁	C ₇	N ₁	Lp _{1C6}
	s ⁰ p ¹⁰⁰	s ¹ p ^{99.99}	s ¹ p ^{20.82}	s ⁰ p ¹⁰⁰	s ⁰ p ¹⁰⁰	s ⁰ p ¹⁰⁰			
8b _{t(C_s)}	$\pi_{(1)C3-N4}$		$\pi_{(1)N5-C6}$		$\pi_{(1)C7-N1}$		Lp		
	C ₃	N ₄	N ₅	C ₆	C ₇	N ₁	Lp ^b _{1C2}		Lp ^b _{1C7}
	s ⁰ p ¹⁰⁰	s ⁰ p ¹⁰⁰	s ⁰ p ¹⁰⁰		s ¹ p ^{20.32}				
8b _{t(C_l)}	$\pi_{(1)N4-N5}$		$\pi_{(1)N5-C6}$		$\pi_{(1)C7-N1}$				
	N ₄	N ₅	N ₅	C ₆	C ₇	N ₁	Lp _{1N1}	Lp ^b _{1C2}	Lp _{1C3}
	s ¹ p ^{2.79}	s ¹ p ^{1.67}	s ¹ p ^{63.06}	s ¹ p ^{27.39}	s ¹ p ^{73.55}	s ¹ p ^{29.24}	s ¹ p ^{99.99}	s ¹ p ^{99.99}	s ¹ p ^{99.99}
9a	$\pi_{(1)N2-N3}$		$\pi_{(1)N4-C5}$		$\pi_{(1)C6-C7}$		$\pi_{(1)C7-C1}$		
	N ₂	N ₃	N ₄	C ₅	C ₆	C ₇	C ₇		C ₁
	s ¹ p ^{48.55}	s ¹ p ^{48.87}	s ¹ p ^{86.77}	s ¹ p ^{53.28}	s ¹ p ^{99.99}	s ¹ p ^{39.13}	s ¹ p ^{23.58}		s ¹ p ^{99.99}
9b _s	$\pi_{(1)C1-N2}$		$\pi_{(1)N3-N4}$		$\pi_{(1)C6-C7}$		$\pi_{(1)C7-C1}$		
	C ₁	N ₂	N ₃	N ₄	C ₆	C ₇	C ₆		C ₇
	s ¹ p ^{53.67}	s ¹ p ^{99.99}	s ¹ p ^{99.99}		s ¹ p ^{99.99} d ^{12.33}		s ¹ p ^{14.86}		s ¹ p ^{90.56}
9b _{t(C_s)}	$\pi_{(1)C1-N2}$		$\pi_{(1)N3-N4}$		$\pi_{(1)C6-C7}$		Lp		
	C ₁	N ₂	N ₃	N ₄	C ₆	C ₇	Lp ^b _{1C5}		Lp ^b _{1C7}
	s ⁰ p ¹⁰⁰	s ⁰ p ¹⁰⁰	s ⁰ p ¹⁰⁰		s ¹ p ^{15.70}				

جدول ۲- هیبریداسیون NBO به دست آمده از روش B3LYP/6-311++G** برای گونه‌های تری‌آزاسیکلوفپتا-۱،۴،۲،۶-ترالان (1a-10a) و حالت‌های الکترونی یکتایی (s) (سه تایی (t) از گونه‌های تری‌آزاسیکلوفپتا-۱،۳،۵-تری‌ان-۷-ایلیدن (2b-10b) (ادامه).

9b _t (C ₇)	$\pi_{(1)C1-N2}$		$\pi_{(1)N4-C5}$		$\pi_{(1)C6-C7}$		Lp	
	C ₁	N ₂	N ₄	C ₅	C ₆	C ₇	Lp* ^b _{1N3}	Lp* ^b _{1C7}
	s ¹ p ^{79.54}	s ⁰ p ¹⁰⁰	s ¹ p ^{18.29}	s ¹ p ^{16.15}	s ¹ p ^{99.99}	s ¹ p ^{92.12}	s ¹ p ^{99.99}	s ¹ p ^{22.13}
10a	$\pi_{(1)N2-N3}$		$\pi_{(1)C4-N5}$		$\pi_{(1)C6-C7}$		$\pi_{(1)C7-C1}$	
	N ₂	N ₃	C ₄	N ₅	C ₆	C ₇	C ₇	C ₁
	s ¹ p ^{99.99}	s ¹ p ^{99.99}	s ¹ p ^{31.02}	s ¹ p ^{30.48}	s ⁰ p ¹⁰⁰			
10b _s	$\pi_{(1)C1-N2}$		$\pi_{(1)C4-N5}$		Lp			
	C ₁	N ₂	C ₄	N ₅	Lp _{2N3}	Lp* _{1C6}	Lp _{1C7}	Lp* _{2C7}
	s ¹ p ^{63.20}	s ¹ p ^{99.99}	s ¹ p ^{99.99}	s ¹ p ^{99.99} d ^{12.13}	s ¹ p ^{99.99}	s ⁰ p ¹⁰⁰	s ¹ p ^{1.60}	s ¹ p ^{99.99}
10b _t (C ₅)	$\pi_{(1)C1-N2}$		$\pi_{(1)N3-C4}$		$\pi_{(1)N5-C6}$		Lp	
	C ₁	N ₂	N ₃	C ₄	N ₅	C ₆	Lp* ^b _{1C7}	Lp* ^b _{2C7}
	s ⁰ p ¹⁰⁰	s ⁰ p ¹⁰⁰	s ⁰ p ¹⁰⁰	s ⁰ p ¹⁰⁰	s ¹ p ^{16.81}			
10b _t (C ₁)	$\pi_{(1)N2-N3}$		$\pi_{(1)N5-C6}$		$\pi_{(1)C7-C1}$		Lp	
	N ₂	N ₃	N ₅	C ₆	C ₇	C ₁	Lp* _{1C4}	Lp* _{1C7}
	s ¹ p ^{99.99}	s ¹ p ^{99.99}	s ¹ p ^{99.99}	s ¹ p ^{39.95}	s ¹ p ^{20.01}			

^a در بیشتر موارد میزان اربیتال d ناچیز بوده و از جدول حذف شده است.

^b اربیتال مولکولی ضد پیوند

جدول ۳- مقادیر NICS بر حسب (ppm) برای گونه‌های یکتایی (s) تری‌آزاسیکلوفپتا-۱،۳،۵-تری‌ان-۷-ایلیدن (2b_s-10b_s) که توسط روش B3LYP/6-311++G** در ۱ Å بالای حلقه محاسبه شده است.

گونه‌ها	NICS(1)
2b _s	۷/۸۷
3b _s	۶/۱۹
4b _s	-۱۰/۶۵
5b _s	۱۵/۵۱
6b _s	۲۲/۶۵
7b _s	۱۵/۶۰
8b _s	۲۲/۷۵
9b _s	-۶/۸۳
10b _s	-۸/۳۳